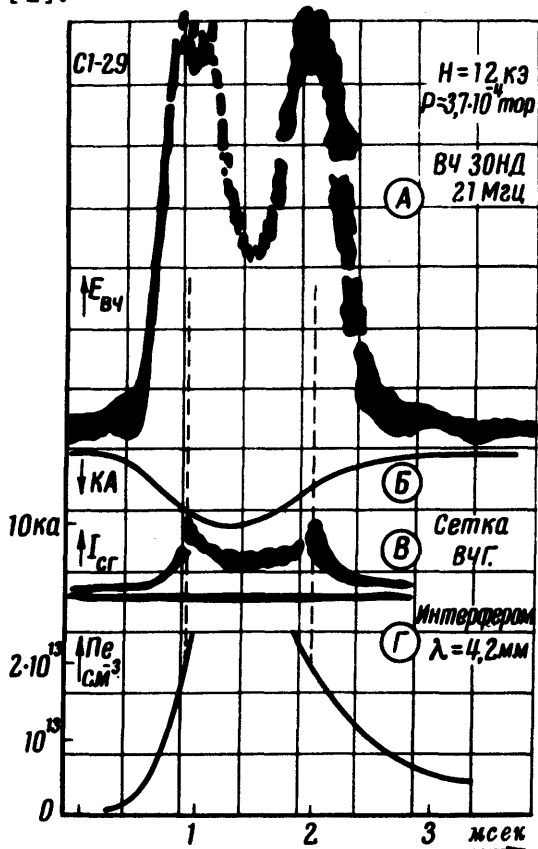


ВОЗБУЖДЕНИЕ МАГНИТНО-ЗВУКОВОГО РЕЗОНАНСА В ПЛАЗМЕ УСТАНОВКИ ТОКАМАК

*В. Л. Бдовин, О. А. Зиновьев, А. А. Иванов, Л. Л. Козоровицкий,
В. В. Параил, Я. Р. Рахимбабаев, В. Д. Русанов*

В настоящее время достигнуты существенные успехи в нагреве и удержании плазмы током в установках Токамак [1]. Вместе с тем известно, что эффективность джоулевого нагрева плазмы падает с ростом температуры электронов. Поэтому становится актуальной задача нагрева плазмы при помощи переменных электромагнитных полей, в частности, с помощью возбуждения магнитно-звукового резонанса, обеспечивающего проникновение поля в плазму и даже усиление его [2].



a – Поведение во времени
 H_z – компоненты БЧ магнитного поля, *b* – ток разряда, *c* – ток сетки лампы возбуждающего генератора (21 МГц), *d* – поведение во времени концентрации электронов (по микроволновому интерферометру)

В работе изучалось возбуждение магнитно-звукового резонанса (МЗР) в торoidalной плазме с током на установке ТМ1-ВЧ, представлявшей собой Токамак [3] с большим радиусом тора $R = 40 \text{ см}$, радиусом диафрагмы $a = 8 \text{ см}$, стабилизирующим полем $H_z = 20 \text{ кэ}$, разрядным током $I = 10 \text{ ка}$. Давление водорода в камере $P = (4 \div 8) \cdot 10^{-4} \text{ тор}$. Температура электронов, оцененная по проводимости, $T_e = 70 \text{ эв}$, концентрация (по микроволновому интерферометру) заряженных частиц $n \gtrsim 2 \cdot 10^{13} \text{ см}^{-3}$. МЗ колебания на частоте 21 МГц возбуждались с по-

мощью узкого витка связи, охватывающего плазменный шнур. Регистрация сигнала осуществлялась с помощью магнитных зондов, расположенных внутри лайнера в тени диафрагмы. Один датчик располагался на расстоянии 22 см от центральной плоскости витка возбуждения, вне сечения, ограниченного диафрагмой и мог измерять локальную напряженность ВЧ магнитного поля \tilde{H}_z , другой датчик охватывал шнур и был удален от области возбудителя на половину периметра тора. Основные измерения проводились в условиях, когда поглощаемая ВЧ мощность ($P_{\text{акт}} \approx 20 \text{ кВт}$) была одного порядка с мощностью джоулева нагрева продольным током.

На рис. 1 представлены осцилограмма ЭДС с магнитного зонда – поведение во времени \tilde{H}_z -компоненты ВЧ магнитного поля, (рис. 1, а) и ток в плазме (б). Длительность импульса генератора составляла 10 мксек и предполагала длительность импульса тока. Видно интенсивное возбуждение колебаний в определенном интервале значений концентрации на подъеме и спаде тока. Ход усредненной по сечению концентрации приведен на рис. 1, г (нижняя кривая). В момент максимальной раскачки ВЧ колебаний происходит интенсивный отбор мощности, о чем свидетельствует реакция сеточного тока генераторной лампы (рис. 1, в). Аналогичные осцилограммы были получены с датчика, охватывающего плазменный шнур.

Амплитуда колебаний переменного магнитного поля \tilde{H}_z спадает примерно в 4 раза на расстоянии 22 см от возбуждающего витка, что позволяет оценить эффективность возбуждения волны узким витком.

Приведем оценку частоты магнитно-звукового резонанса, опираясь на простейшую формулу, считаем вклад продольного волнового числа малым, плазму ограниченной только магнитным полем, поправками, связанными с продольным током и торoidalной неоднородностью пре-небрегаем [2]

$$\omega_{\text{рез}} = (2,4/\sigma)(H_0 / \sqrt{4\pi nM}).$$

При $H_0 = 12 \text{ к} \text{A}$, $\sigma = 7 \text{ см}$ и средней концентрации $n = 2,3 \cdot 10^{13}$ для водорода получаем $f_{\text{рез}} = 30 \text{ М} \text{и} \text{ц}$. Совпадение с частотой генератора 21 Миц можно считать хорошим, учитывая характер приближений в формуле.

Величина добротности плазмы, оцененная по полуширине резонансной зависимости переменного поля в плазме, оказывается равной $Q = 5$. Отметим, что поглощение при очень малых амплитудах возбуждения (использовался генератор стандартных сигналов ГСС-6) было в 3÷4 раза меньшим, в то же время эта величина достаточно велика по сравнению со значением, определяемым классическими диссипативными механизмами. Наиболее существенным с нашей точки зрения является факт эффективного возбуждения и поглощения ВЧ мощности на спаде тока, когда электроны уже нагреты и интенсивность джоулевого нагрева падает.

Контрольные эксперименты, проделанные в режиме относительно большой мощности генератора $P \approx 200 \text{ к} \text{вт}$ при длительности импульса $t \approx 500 \text{ м} \text{ик} \text{сек}$, показали, что эффективность поглощения в этом случае остается столь же высокой.

Величина добротности, полученная в эксперименте, не противоречит теории, предсказывающей существование нелинейных диссипативных механизмов с очень низкими порогами \leftrightarrow , но не может быть получена на основе механизмов классической диссипации, в том числе механизмов линейной трансформации . '

Нетрудно показать, что магнитно-звуковая волна с частотой $\Omega \approx \omega_{hi}$ может распадаться на сумму двух волн: ионно-циклотронную, дрейфовую волну с частотой $\omega_* \ll \omega_{hi}$ и $\leftrightarrow k\rho_{li} > 1$ при выполнении условия:

$$u^2 > v_T^2, \frac{\omega_*}{k^2 \rho_{li}^2 \omega_{hi}}.$$

Здесь $\rho_{li} = \frac{v_T}{\omega_{hi}}$; $\omega_* = \frac{k_L \kappa c T_e}{e H}$; $R = \frac{1}{\kappa}$ – размер неоднород-

ности плазмы, $u = \Omega R (\tilde{H}/H_0)$ – скорость электронов в поле магнитно-звуковой волны. Поскольку $\omega_* \ll \omega_{hi}$ и $k\rho_{li} > 1$, то пороговая скорость раскачки много меньше тепловой скорости ионов; в условиях описанного выше эксперимента раскачка происходит при $\tilde{H} \gtrsim 10$ э.

Из уравнений распада следует, что :

$$\frac{\partial W_{M3}}{\partial t} = - \sum_a (\gamma_{la} - \gamma_{nel}) W_a, \text{ где:}$$

W_{M3} – плотность энергии магнитно-звуковых волн, γ_{la} – линейный декремент затухания волны индекса a , γ_{nel} – инкремент нарастания ионно-звуковых и дрейфовых волн. Поскольку декремент затухания циклотронной волны, характеризующий степень ее поглощения плазмой, много больше инкремента нарастания волн в результате распада, то поглощение энергии магнитно-звуковой волны определяется именно линейным декрементом. Так как на конечной стадии распада $W_{M3} \sim W_c$, то добротность системы определяется выражением $Q = \Omega/2\gamma_{lc}$ и для описанных выше экспериментов составляет величину $Q \lesssim 10$.

Авторы выражают благодарность Е.К. Завойскому за постоянный интерес к работе, Л.А. Арцимовичу за поддержку в постановке экспериментов и стимулирующие дискуссии. Авторы искренне благодарят также Д.П. Иванова, С.В. Мирнова, Г.Ф. Жалудя, М.К. Романовского, К.И. Траканова, А.В. Титова, Д.А. Шеглова за помощь и участие в работе.

Поступила в редакцию
7 июля 1971 г.

Литература

- [1] Л.А. Арцимович, Е.П. Горбунов, С.В. Мирнов, В.С. Стрелков и др.
Доклад на IV Междунар. конф. по исследованию в области физики
плазмы и управляемых термоядерных реакций. Мэдисон, США, 1971.

- [2] В.Д.Вдовин, А.А.Иванов, Л.Л.Козоровицкий, В.Д.Русанов,
Д.А.Франк-Каменецкий и др. Докл. на Междунар. симпозиуме по
тороидальным системам. Дубна , 1969.
- [3] Л.А.Арцимович. Замкнутые плазменные конфигурации. М., Изд.
Наука, 1969; Д.П.Иванов, Д.С.Парfenov. Доклад С-21/144 на II
Междунар. конф. по физике плазмы и управляемому ядерному син-
тезу. Калэм. 1965.
-